

SCATTERING THEORY – THE PARTIAL WAVE STATIONARY STATES

Zhiguang Xiao

Reference: Taylor, Scattering theory

2022 年 12 月 19 日

- 1 分波散射态、分波散射振幅
 - 分波的 S 矩阵
 - 自由的径向波函数
 - 分波散射态
- 2 分波的 LIPPMANN-SCHWINGER 方程及分波振幅
- 3 分波波函数及振幅的性质
- 4 正则 (REGULAR) 解, JOST 函数及玻恩展开收敛性
- 5 正则解、JOST 函数、 s_l 的解析性质 (关于 p)
 - 单变量解析函数
 - 正则解的解析性质 (关于 p)
 - Jost 函数和分波 S 矩阵元的解析性
- 6 束缚态与 LEVINSON 定理
 - 阈 ($p = 0$) 附近的行为

Section 1

分波散射态、分波散射振幅

- Summary: go to page (15)

THE PARTIAL-WAVE S MATRIX

前面我们考虑两无自旋粒子的散射，相互作用是球对称的，

- 那么 S 是对角的

$$\langle E' l' m' | S | E l m \rangle = \delta(E' - E) \delta_{ll'} \delta_{mm'} s_l(p), \quad s_l(p) = e^{2i\delta_l(p)},$$

- $\delta_l(p)$ 相移：有一个 $n\pi$ 不确定性， $n \in \mathbb{Z}$ (modulo π ambiguity)
- 平面波 $|\mathbf{p}\rangle$ 可以用 $|Elm\rangle$ 展开

$$\langle \mathbf{p} | E, l, m \rangle = (mp)^{-1/2} \delta(E_p - E) Y_l^m(\hat{\mathbf{p}})$$

由此可得

$$f(\mathbf{p}' \leftarrow \mathbf{p}) = \sum_l (2l+1) f_l(p) P_l(\hat{\mathbf{p}}' \cdot \hat{\mathbf{p}}),$$

$$f_l(p) = \frac{s_l - 1}{2ip} = \frac{e^{i\delta_l(p)} \sin \delta_l(p)}{p}, \quad s_l(p) = e^{2i\delta_l(p)}$$

$f_l(p)$ 为分波振幅。

微分散射截面 $\frac{d\sigma}{d\Omega} = |f|^2$, 及总截面 $\sigma = \sum_l \sigma_l(p)$

$$\sigma_l(p) = 4\pi(2l+1)|f_l(p)|^2 = 4\pi(2l+1)\frac{\sin^2 \delta_l(p)}{p^2}$$

Unitary bound

$$\sigma_l(p) \leq \frac{4\pi(2l+1)}{p^2}$$

自由的径向波函数

自由的空间波函数 $\langle \mathbf{x} | Elm \rangle = \frac{y(r)}{r} Y_l^m(\hat{\mathbf{x}})$

$$\left[\frac{d^2}{dr^2} - \frac{l(l+1)}{r^2} + p^2 \right] y(r) = 0, \quad p = (2mE)^{1/2}$$

有两个独立解，有物理意义的解在 $r \rightarrow 0$ 时趋于 0。在 $r \rightarrow 0$ 的极限下， $l(l+1)/r^2$ 项主导，两个独立解的行为 r^{l+1} , r^{-l} ，物理上可接受的解的行为应该是 r^{l+1} ，解应为 Riccati-Bessel 函数

$$\hat{j}_l(z) \equiv z j_l(z) \equiv \left(\frac{\pi z}{2} \right)^{1/2} J_{l+1/2}(z) = z^{l+1} \sum_{n=0}^{\infty} \frac{(-z^2/2)^n}{n!(2l+2n+1)!!}$$

j_l : 球贝塞尔函数。在 0 附近的行为 $\hat{j}_l = \frac{z^{l+1}}{(2l+1)!!} [1 + O(z^2)]$ ，有内积， $\int_0^\infty dr \hat{j}_l(p'r) \hat{j}_l(pr) = \frac{\pi}{2} \delta(p' - p)$ ，由此得到归一化的波函数

$$\langle \mathbf{x} | E, l, m \rangle = i^l \left(\frac{2m}{\pi p} \right)^{1/2} \frac{1}{r} \hat{j}_l(pr) Y_l^m(\hat{\mathbf{x}})$$

Notice: $l = 0$, $r \rightarrow 0$, $\langle \mathbf{x} | E, l, m \rangle \rightarrow \text{finite}$. $l \geq 1$, $\langle \mathbf{x} | E, l, m \rangle \rightarrow 0$.

另一个解, $r \rightarrow 0$, r^{-l} 行为, Riccati-Neumann 函数 $\hat{n}_l(pr)$

$$\begin{aligned}\hat{n}_l(z) &\equiv zn_l(z) \equiv (-)^l \left(\frac{\pi z}{2}\right)^{1/2} J_{-l-1/2}(z) \\ &= z^{-l} \sum_{n=0}^{\infty} \frac{(-z^2/2)^n (2l-2n-1)!!}{n!} \\ &\sim z^{-l} (2l-1)!! [1 + O(z^2)], \quad [z \rightarrow 0]\end{aligned}$$

方程的一般解为此两个函数的线性叠加。

$r \rightarrow \infty$ 时, $l(l+1)/r^2 \rightarrow 0$, 只有 p^2 主导, 方程解为 $e^{\pm ipr}$ 的线性叠加, 趋于 $e^{\pm ipr}$ 的函数为 Riccati-Hankel 函数 $\hat{h}_l^\pm(pr)$

$$\hat{h}_l^\pm(z) = \hat{n}_l(z) \pm i\hat{j}_l(z) = e^{\pm i(z-l\pi/2)}[1 + O(z^{-1})]$$

所以,

$$\hat{j}_l(z) = \frac{\hat{h}_l^+(z) - \hat{h}_l^-(z)}{2i} = \sin(z - \frac{1}{2}l\pi) + O(z^{-1}), \quad [z \rightarrow \infty, z \in \mathbb{R}]$$

$$\hat{n}_l(z) \rightarrow \cos(z - \frac{1}{2}l\pi)$$

Riccati Functions:

	$l = 0$	$l = 1$	$l = 2$
$\hat{j}_l(z)$	$\sin z$	$\frac{1}{z} \sin z - \cos z$	$(\frac{3}{z^2} - 1) \sin z - \frac{3}{z} \cos z$
$\hat{n}_l(z)$	$\cos z$	$\frac{1}{z} \cos z - \sin z$	$(\frac{3}{z^2} - 1) \cos z - \frac{3}{z} \sin z$
$\hat{h}_l^+(z)$	e^{iz}	$(1 + \frac{1}{z})e^{i(z-\pi/2)}$	$(1 + \frac{3i}{z} - \frac{3}{z^2})e^{i(z-\pi)}$
$\hat{h}_l^-(z)$	e^{-iz}	$(1 - \frac{1}{z})e^{-i(z-\pi/2)}$	$(1 - \frac{3i}{z} - \frac{3}{z^2})e^{-i(z-\pi)}$

$$\hat{j}_l(-z) = (-)^{l+1} \hat{j}_l(z), \quad \hat{n}_l(-z) = (-)^l \hat{n}_l(z)$$

$$\hat{h}_l^\pm(-z) = (-)^l \hat{h}_l^\mp(z), \quad [\hat{h}_l^\pm(z)]^* = \hat{h}_l^\mp(z^*)$$

平面波用球面波展开：

$$\begin{aligned} |\mathbf{p}\rangle &= \int dE \sum_{l,m} |E, l, m\rangle \langle E, l, m | \mathbf{p}\rangle = (mp)^{-1/2} \sum_{l,m} |E_p, l, m\rangle Y_l^m(\hat{\mathbf{p}})^*, \\ \langle \mathbf{x} | \mathbf{p}\rangle &= \left(\frac{2}{\pi}\right)^{1/2} \frac{1}{pr} \sum_{l,m} i^l \hat{j}_l(pr) Y_l^m(\hat{\mathbf{x}}) Y_l^m(\hat{\mathbf{p}})^* \\ &= (2\pi)^{-3/2} \frac{1}{pr} \sum_l (2l+1) i^l \hat{j}_l(pr) P_l(\hat{\mathbf{x}} \cdot \hat{\mathbf{p}}) \end{aligned}$$

分波散射态

我们有了 $|E, l, m\rangle$ 自由的球面波, 可以定义有相互作用的散射态的球面波 $|E, l, m+\rangle$

$$|E, l, m+\rangle = \Omega_+ |E, l, m\rangle, \quad \langle E', l, m+ | E, l, m+\rangle = \delta(E - E') \delta_{l'l} \delta_{m'm}$$

- $|E, l, m+\rangle$ 是 H 的本征态: 由 $H\Omega_+ = \Omega_+ H_0$ 可得,
 $H|E, l, m+\rangle = \Omega_+ H_0 |E, l, m\rangle = E|E, l, m+\rangle$ 。
- 可以认为 $|E, l, m+\rangle$ 是 $|E, l, m\rangle$ 对应的 $t=0$ 时的散射态。
- \mathbf{L} 与 Ω_+ 对易, $|E, l, m+\rangle$ 是 \mathbf{L}^2, L_3 的本征态,
 $\mathbf{L}^2 |E, l, m+\rangle = l(l+1) |E, l, m+\rangle, L_3 |E, l, m+\rangle = m |E, l, m+\rangle$:

$$\langle \mathbf{x} | E, l, m+\rangle = i^l \left(\frac{2m}{\pi p} \right)^{1/2} \frac{1}{r} \psi_{l,p}^+(r) Y_l^m(\hat{\mathbf{x}})$$

当 $V=0$ 时, $\psi_{l,p}^+(r) \rightarrow \hat{j}_l(pr)$

- Normalization, 由 $\langle E', l, m+ | E, l, m+\rangle = \delta(E - E') \delta_{l'l} \delta_{m'm}$,

$$\int_0^\infty dr \psi_{l,p'}^{+*}(r) \psi_{l,p}^+(r) = \frac{\pi}{2} \delta(p' - p)$$

$\psi_{l,p}^+(r)$ 称作归一化的径向波函数。(对 out-态也是类似的)

$|\mathbf{p}+\rangle$ 可以用 $|E, l, m+\rangle$ 展开:

$$\begin{aligned} |\mathbf{p}\rangle &= (mp)^{-1/2} \sum_{l,m} |E_p, l, m\rangle Y_l^m(\hat{\mathbf{p}})^* \\ \Rightarrow |\mathbf{p}+\rangle &= (mp)^{-1/2} \sum_{l,m} |E_p, l, m+\rangle Y_l^m(\hat{\mathbf{p}})^* \end{aligned}$$

坐标空间, 利用 $P_l(\hat{\mathbf{x}} \cdot \hat{\mathbf{p}}) = \frac{4\pi}{2l+1} \sum_m Y_l^{m*}(\hat{\mathbf{x}}) Y_l^m(\hat{\mathbf{p}})$

$$\langle \mathbf{x} | \mathbf{p}+ \rangle = (2\pi)^{-3/2} \frac{1}{pr} \sum_l (2l+1) i^l \psi_{l,p}^+(r) P_l(\hat{\mathbf{x}} \cdot \hat{\mathbf{p}})$$

ψ_{lp}^+ 满足薛定谔方程: **边界条件** $\psi_{l,p}(0) = 0$ (后面省略上指标 +)

$$\left[\frac{d^2}{dr^2} - \frac{l(l+1)}{r^2} - U(r) + p^2 \right] \psi_{l,p}(r) = 0, \quad U(r) \equiv 2m V(r)$$

同时满足归一化条件:

$$\int_0^\infty dr \psi_{l,p'}^{+*}(r) \psi_{l,p}^+(r) = \frac{\pi}{2} \delta(p' - p)$$

$$\langle \mathbf{x} | \mathbf{p} + \rangle = (2\pi)^{-3/2} \frac{1}{pr} \sum_l (2l+1) i^l \psi_{l,p}(r) P_l(\hat{\mathbf{x}} \cdot \hat{\mathbf{p}})$$

$r \rightarrow \infty$ 时, 我们可以得到散射振幅 $f(p\hat{\mathbf{x}} \leftarrow \mathbf{p})$ 的分波展开

$$\begin{aligned} \langle \mathbf{x} | \mathbf{p} + \rangle &\xrightarrow{r \rightarrow \infty} (2\pi)^{-3/2} \left[e^{i\mathbf{p} \cdot \mathbf{x}} + f(p\hat{\mathbf{x}} \leftarrow \mathbf{p}) \frac{1}{r} e^{ipr} \right] \\ &= (2\pi)^{-3/2} \frac{1}{pr} \sum_{l,m} (2l+1) [i^l \hat{j}_l(pr) + pf_l(p) e^{ipr}] P_l(\hat{\mathbf{x}} \cdot \hat{\mathbf{p}}) \end{aligned}$$

$$\begin{aligned} \Rightarrow \psi_{l,p}(r) &\xrightarrow{r \rightarrow \infty} \hat{j}_l(pr) + pf_l(p) e^{i(pr - l\pi/2)} \\ &\xrightarrow{r \rightarrow \infty} \hat{j}_l(pr) + pf_l(p) \hat{h}_l^+(pr) \\ &\xrightarrow{r \rightarrow \infty} e^{i\delta_l(p)} \sin\left[pr - \frac{l\pi}{2} + \delta_l(p)\right] \end{aligned}$$

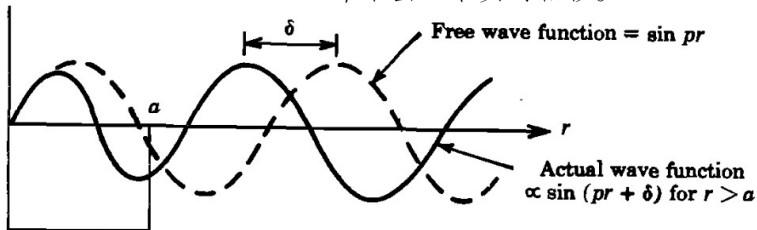
$\hat{j}_l(pr)$ 对应渐近的自由入射态的 l 分波波函数, $pf_l \hat{h}_l^+$ 对应的散射后的渐近自由的出射波 l 分波。

(利用 $\hat{j}(pr) \rightarrow \sin(pr - \frac{1}{2}l\pi)$, $pf_l = e^{i\delta_l} \sin \delta_l$, $\hat{h}_l^+(pr) \rightarrow e^{i(pr - l\pi/2)}$)

$$\psi_{l,p}(r) \xrightarrow{r \rightarrow \infty} e^{i\delta_l(p)} \sin\left[pr - \frac{l\pi}{2} + \delta_l(p)\right]$$

对比自由的分波波函数 $\hat{j}_l(pr) \rightarrow \sin(pr - \frac{1}{2}l\pi)$, 振幅的模相差一个位相 $\delta_l(p)$, 所以称 $\delta_l(p)$ 为相移。我们可以从径向薛定谔方程及边界条件的解得到散射振幅和相移。

例： 对于方势阱，吸引势，阱内 $V < 0$, 动能比外面大，所以阱内的位相变化的比阱外的快，位相比自由平面波超前，“pull the wave function inward”，给出一个正的相移。反之，排斥势，“push the wave function outward”，给出一个负的相移。



我们可以脱离三维讨论，只考虑单个分波的径向方程，

- 由 $\hat{j} = (\hat{h}^+ - \hat{h}^-)/2i$, $pf_l = \frac{1}{2i}(\mathbf{s}_l - 1)$, 无穷远渐近条件

$$\psi_{l,p} \rightarrow \frac{i}{2}[\hat{h}_l^- - \mathbf{s}_l(p)\hat{h}_l^+(pr)]$$

- 第一项可以看成是内行波，第二项可以看成是散射之后的外行波。
- 由于没有粒子产生湮灭，所以 $|\mathbf{s}| = 1$, $\mathbf{s} = e^{2i\delta_l}$ 只是纯相位。

- 无自旋分波散射态径向波函数: (pg. 10)

$$\langle \mathbf{x} | E, l, m+ \rangle = i^l \left(\frac{2m}{\pi p} \right)^{1/2} \frac{1}{r} \psi_{l,p}^+(r) Y_l^m(\hat{\mathbf{x}}),$$

$$\langle \mathbf{x} | \mathbf{p}+ \rangle = (2\pi)^{-3/2} \frac{1}{pr} \sum_l (2l+1) i^l \psi_{l,p}(r) P_l(\hat{\mathbf{x}} \cdot \hat{\mathbf{p}})$$

$$\int_0^\infty dr \psi_{l,p'}^{+*}(r) \psi_{l,p}^+(r) = \frac{\pi}{2} \delta(p' - p)$$

- 与分波散射态波函数及相移关系 (pg. 12)

$$\begin{aligned} \psi_{l,p}^+(r) &\xrightarrow{r \rightarrow \infty} \hat{j}_l(pr) + p f_l(p) \hat{h}_l^+(pr) \\ &\xrightarrow{r \rightarrow \infty} e^{i\delta_l(p)} \sin\left[pr - \frac{l\pi}{2} + \delta_l(p)\right] \end{aligned}$$

- 与分波 s_l 关系 (pg. 13)

$$\psi_{l,p}^+ \xrightarrow{r \rightarrow \infty} \frac{i}{2} [\hat{h}_l^- - s_l(p) \hat{h}_l^+(pr)]$$

Section 2

分波的 LIPPMANN-SCHWINGER 方程及分波 振幅

- Summary: go to page (22)

分波的 LIPPMANN-SCHWINGER 方程

我们可以将径向薛定谔方程 + 边界条件化为 $\psi_{l,p}(r)$ 的积分方程。

由 $|\mathbf{p}\pm\rangle = (mp)^{-1/2} \sum_{l,m} |E_p, l, m\pm\rangle Y_l^m(\hat{\mathbf{p}})^*$

$$\begin{aligned} |\mathbf{p}\pm\rangle &= |\mathbf{p}\rangle + G_0(E_p \pm i\epsilon) V |\mathbf{p}\pm\rangle \\ \Rightarrow |E_p, l, m\pm\rangle &= |E_p, l, m\rangle + G_0(E_p \pm i\epsilon) V |E_p, l, m\pm\rangle \end{aligned}$$

$$\langle \mathbf{x} | E, l, m\pm \rangle = \langle \mathbf{x} | E, l, m \rangle + \int d^3x' G_0(\mathbf{x}, \mathbf{x}') V(\mathbf{x}') \langle \mathbf{x}' | E, l, m\pm \rangle$$

定义 $U(r) = 2m V(r)$, $r_> = \max\{r, r'\}$, $r_< = \min\{r, r'\}$ 利用

$$\langle \mathbf{x} | E, l, m\pm \rangle = i^l \left(\frac{2m}{\pi p} \right)^{1/2} \frac{1}{r} \psi_{lp}^\pm(r) Y_l^m(\hat{\mathbf{x}})$$

$$\psi_{lp}^+(r) = \hat{j}_l(pr) + \left(\frac{1}{p} \right) \int dr' \hat{h}_l^+(pr_>) \hat{j}_l(pr_<) U(r') \psi_{lp}^+(r'),$$

$$= \hat{j}_l(pr) + \int dr' G_{l,p}^0(r, r') U(r') \psi_{lp}^+(r'), \quad G_{l,p}^0(r, r') = - \frac{\hat{h}_l^+(pr_>) \hat{j}_l(pr_<)}{p}$$

(1)

分波的 Lippmann-Schwinger 方程可以简写成算符形式：

$$\psi_{l,p} = \hat{j}_l + G_{l,p}^0 U \psi_{l,p}$$

可以有迭代的级数解

$$\psi_{l,p} = \hat{j}_l + G_{l,p}^0 U \hat{j}_l + (G_{l,p}^0 U)^2 \hat{j}_l + \dots$$

利用

$$\langle \mathbf{x} | \mathbf{p} + \rangle = \left(\frac{2}{\pi} \right)^{1/2} \frac{1}{pr} \sum_{l,m} i^l \psi_{l,p}(r) Y_l^m(\hat{\mathbf{x}}) Y_l^{m*}(\hat{\mathbf{p}})$$

可以得到分波的振幅

$$\begin{aligned} f(\mathbf{p}' \leftarrow \mathbf{p}) &= \sum_l (2l+1) f_l(p) P_l(\hat{\mathbf{p}}' \cdot \hat{\mathbf{p}}) = -(2\pi)^2 m \langle \mathbf{p}' | V | \mathbf{p} + \rangle, \\ &= -(2\pi)^2 m \int d^3x \langle \mathbf{p}' | \mathbf{x} \rangle \langle \mathbf{x} | \mathbf{p} + \rangle V(r) \\ &= -(8\pi) \frac{m}{p^2} \int dr \sum_{l,m} Y_l^m(\hat{\mathbf{p}}') Y_l^{m*}(\hat{\mathbf{p}}) \hat{j}_l(p'r) \psi_{lp}^+(r) V(r) \\ &= -\frac{1}{p^2} \sum_l \int dr (2l+1) P_l(\hat{\mathbf{p}} \cdot \hat{\mathbf{p}}') \hat{j}_l(p'r) \psi_{lp}^+(r) U(r) \end{aligned}$$

得

$$f_l(p) = -\frac{1}{p^2} \int_0^\infty dr \hat{j}_l(pr) \psi_{lp}^+(r) U(r)$$

利用前面 ψ_{lp} 的迭代解, 可得:

$$f_l(p) = -\frac{1}{p^2} \left(\int_0^\infty dr \hat{j}_l U \hat{j}_l + \int_0^\infty dr \hat{j}_l U G_{l,p}^0 U \hat{j}_l + \dots \right)$$

上式也可以由玻恩级数

$$f(\mathbf{p}' \leftarrow \mathbf{p}) = - (2\pi)^2 m (\langle \mathbf{p}' | V | \mathbf{p} \rangle + \langle \mathbf{p}' | V G(E + i\epsilon) V | \mathbf{p} \rangle + \dots)$$

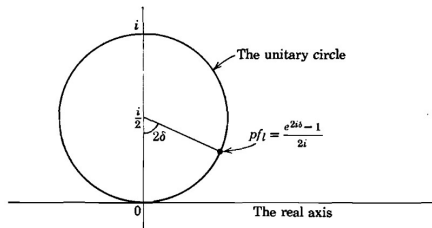
分波展开得到。

玻恩近似:

$$f_l(p) = -\frac{1}{p^2} \int_0^\infty dr \hat{j}_l U \hat{j}_l$$

说明：

- 玻恩近似是实的。
- 由于么正性，严格的振幅 $f_l(p) = \frac{1}{p} e^{i\delta_l} \sin \delta_l$ 是复的。
- 只有在 $\delta \pmod{\pi}$ 很小的时候，玻恩近似才成立。



- $\psi_{l,p}$ 的分波的 Lippmann-Schwinger 方程: (1)

$$\psi_{l,p} = \hat{j}_l + G_{l,p}^0 U \psi_{l,p}, \quad G_{l,p}^0(r, r') = -\frac{\hat{h}_l^+(pr_{>})\hat{j}_l(pr_{<})}{p}$$

迭代的级数解

$$\psi_{l,p} = \hat{j}_l + G_{l,p}^0 U \hat{j}_l + (G_{l,p}^0 U)^2 \hat{j}_l + \dots$$

- 分波振幅 f_l 的级数展开: (pg. 19)

$$\begin{aligned} f_l(p) &= -\frac{1}{p^2} \int_0^\infty dr \hat{j}_l(pr) \psi_{l,p}^+(r) U(r) \\ &= -\frac{1}{p^2} \left(\int_0^\infty dr \hat{j}_l U \hat{j}_l + \int_0^\infty dr \hat{j}_l U G_{l,p}^0 U \hat{j}_l + \dots \right) \end{aligned}$$

- 第一项为 Born 近似

Section 3

分波波函数及振幅的性质

Summary (go to 31)

分波振幅的性质

分波径向波函数满足方程

$$\left[\frac{d^2}{dr^2} - \frac{l(l+1)}{r^2} + p^2 - \lambda U(r) \right] \psi_{l,p}(r) = 0$$

我们引入了一个 λ 参数, 代表相互作用强度。假设 $V(r)$ 除了特殊说明以外满足 (实际上大多数只要满足括号中条件即可)

- $r \rightarrow \infty$, $V(r) = O(r^{-3-\epsilon})$, $\epsilon > 0$ 。 ($V(r) = O(r^{-2-\epsilon})$)
- $r \rightarrow 0$, $V(r) = O(r^{-3/2+\epsilon})$. ($V(r) = O(r^{-2+\epsilon})$)
- $V(r)$ 除了在有限点处有有限的跳跃外在 $0 < r < \infty$ 上连续。

若 $\lambda U(r) \ll |l(l+1)/r^2 - p^2|$ 项的话，方程近似自由的径向方程。
 $\psi_{l,p}(r) \rightarrow \hat{j}_l(pr)$, $pf_l(p) \sim e^{i\delta_l} \sin \delta_l \rightarrow 0$ 。

- $\lambda \rightarrow 0$ 时, $f_l(p) \rightarrow 0$, $\delta_l \rightarrow n\pi$, $n \in \mathbb{Z}$ 。
- 给定 l , $E \rightarrow \infty$ 时, $pf_l(p) \rightarrow 0$, $\delta_l \rightarrow n\pi$, $n \in \mathbb{Z}$ 。
- 若 $p \rightarrow \infty$, 规定 $\delta_l \rightarrow 0$, 则没有 $n\pi$ 的不确定性, $\lambda \rightarrow 0$ 时, $\delta_l \rightarrow 0$ 。
- 给定势和能量, $l \rightarrow \infty$, $f_l(p) \rightarrow 0$, $\delta \rightarrow n\pi$, $n \in \mathbb{Z}$ 。

$l(l+1)/2mr^2$ 离心势越来越强, 粒子穿入势的深度越来越小, 感受到相互作用越小, 相移越小。

我们可以估算有明显相移的 l :

势的范围 a , 离心势高度 $l^2/2ma^2$, 能量

$E = p^2/2m \ll l^2/2ma^2$, 则粒子不容易进入的势的范围,

$l \gg pa$ 。

上述条件下, 分波振幅的 Born 近似有效。即使是对于完全振幅 $f(\mathbf{p}' \leftarrow \mathbf{p})$ Born 近似不成立时, 也存在 l_0 , 当 $l > l_0$ 分波振幅 Born 近似比较好。对于低分波可以用其他方法估算。

分波波函数的低能性质

考虑 $\psi_{lp}(r)$ 满足的 Lippmann-Schwinger 方程

$$\psi_{l,p}(r) = \hat{j}_l(pr) + \int dr' G_{l,p}^0(r, r') U(r') \psi_{lp}^+(r'),$$
$$G_{l,p}^0(r, r') = - \frac{\hat{h}_l^+(pr_>) \hat{j}_l(pr_<)}{p} \xrightarrow{p \rightarrow 0} - \frac{(r_<)^{l+1} (r_>)^{-l}}{2l+1}$$

p 很小时, $G_{l,p}^0$ 与 p 无关。由 Lippmann-Schwinger 方程, $\psi_{l,p}$ 与 $\hat{j}_l(pr)$ 在 $p \rightarrow 0$ 时对 p 依赖关系相同, p^{l+1} 。

分波散射振幅的低能性质

$$f_l(p) = -\frac{1}{p^2} \int_0^\infty dr \hat{j}_l(pr) U(r) \psi_{l,p}(r)$$

若在 $r > a$, $U(r) = 0$ 那么 $p \rightarrow 0$ 时, \hat{j}_l 和 $\psi_{l,p}(r)$ 都可用 $p \rightarrow 0$ 时的行为来替代, 我们得到

$$f_l(p) \xrightarrow{p \rightarrow 0} -a_l p^{2l}, \quad e^{i\delta_l(p)} \sin \delta_l(p) \rightarrow -p^{2l+1} a_l \quad (2)$$

a_l 称作**散射长度 (scattering length)**, 只有在 $l=0$ 时候才具有长度量纲。

- 如果势延伸到无穷远, 我们后面会看到, 如果 $V(r)$ 比 $1/r^n$ $\forall n$ 下降的都更快, 上面结论仍然成立。
- 如果 $V(r) \sim 1/r^\nu$, 则上面只有在 $l \geq (\nu - 3)/2$ 时成立。
- 后面我们会看到在某些条件下, $a_l \rightarrow \infty$ 。

注: 有些文献定义散射长度与上面定义差一个符号, 即

$f_l(p) \xrightarrow{p \rightarrow 0} a_l p^{2l}$ 。一般来说, 只是将 $l=0$ 分波的 a_0 称为散射长度。

假设 (2) 成立, $p \rightarrow 0$ 时

- $l = 0$, s 波, $f_0 \rightarrow -a_0 \neq 0$ 。
- $l \neq 0$, $f_l \rightarrow 0$
- $f(\mathbf{p}' \leftarrow \mathbf{p}) = \sum (2l+1) f_l(p) P_l(\cos \theta) \rightarrow -a_0$
- $\lim_{p \rightarrow 0} d\sigma/d\Omega \rightarrow a_0^2$ 。
- $f_l = \frac{1}{p} e^{i\delta_l} \sin \delta_l \sim -a_l p^{2l}$, $\delta_l \rightarrow n\pi - a_l p^{2l+1}$ 。 $a_l \in \mathbb{R}$ 。
- 如果约定 $p \rightarrow \infty$, $\delta_l \rightarrow 0$, 那么 δ_l 没有 $n\pi$ 的不确定性, 在 $p \rightarrow 0$ 时, δ_l 则不一定趋于 0。
- 我们后面会讲到在满足我们上面 $V(r)$ 条件时, 有 Levinson 定理, $\delta_l(0) - \delta_l(\infty) = n_l \pi$, n_l 是角动量为 l 的束缚态的个数, $\delta_l(0) = n_l \pi$ 。
- 有一个例外是当 s -波散射长度 $a_0 = \infty$ 时, $\delta_l(0) = (n_0 + \frac{1}{2})\pi$ 。

作业: 计算球方势阱 $(2ma^2V_0)^{1/2} = 4.8$ 时, $l=0$ 有两个束缚态, $l=1, 2$ 各一个束缚态的波函数以及散射振幅, 验证如下性质

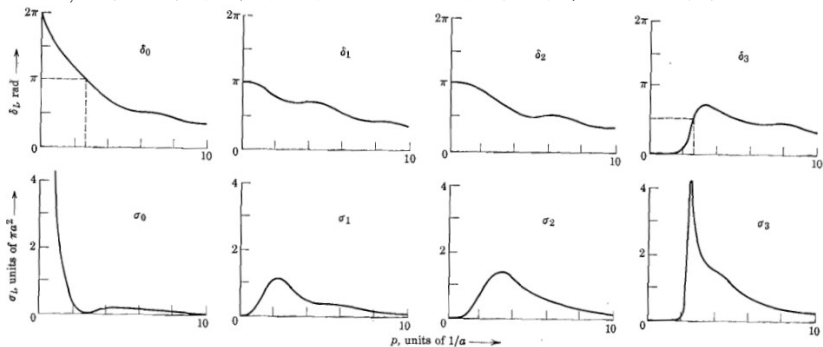


FIGURE 11.3. Phase shifts $\delta_l(p)$ and partial cross sections $\sigma_l(p)$ for a square well of depth V_0 given by $(2ma^2V_0)^{1/2} = 4.8$.

- ① $\delta_0(0) = 2\pi$, $\delta_1(0) = \delta_2(0) = \pi$, 其他分波 $\delta_l(0) = 0$ 。分波散射截面 $\sigma_0(0) = 0$ 。
- ② 当 l 变大, $p \rightarrow 0$ 时, $\delta_l \rightarrow n\pi - a_l p^{2l+1}$, 越来越平缓。
 $0 \leq pa \lesssim 1$, σ_0 给出 90% 的散射截面的贡献。 $1 \lesssim pa \lesssim 2$ 时, $\sigma_0 + \sigma_1 + \sigma_2$ 主要贡献。
- ③ 在 $pa = 10$ 时, 所有的相移小于 60 度, $pa = 50$, 小于 15 度。

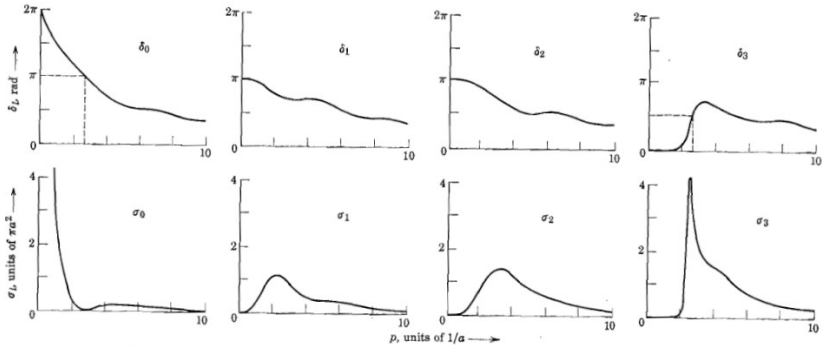


FIGURE 11.3. Phase shifts $\delta_l(p)$ and partial cross sections $\sigma_l(p)$ for a square well of depth V_0 given by $(2ma^2V_0)^{1/2} = 4.8$.

- ④ $pa = 2.7$ 时， s -波相移过 π ， $\sigma_0 = 0$ 。这是因为此时波函数在势阱内正好比自由的波函数多了一个周期，出了势阱之后跟自由波函数一样没有区别。
- ⑤ 某些情况下此现象发生在所有其他 $l > 0$ 的截面可以忽略的时候，此时在此能量处几乎没有散射现象，这叫做 Ramsauer-Townsend 效应。
- ⑥ 在 $pa = 2.6$ ， $l = 3$ 的相移很快的通过 $\pi/2$ ， σ_3 有一个很尖锐的峰。这是一个共振态现象，势几乎能够束缚住一个态，但还没有完全束缚住。

- $\psi_{l,p}(r)$: $\lambda \rightarrow 0$, or $E \rightarrow \infty$, or $l \rightarrow \infty$ 时 $\sin \delta_l \rightarrow 0$, $\delta \rightarrow n\pi$, 玻恩近似成立。(pg.25)
- $\psi_{l,p}(r) \xrightarrow{p \rightarrow 0} p^{l+1}$. (pg. 26)
- $V(r)$ 满足一定条件时, $f_l(p) \xrightarrow{p \rightarrow 0} -a_l p^{2l}$, a_l 散射长度。
 $e^{i\delta_l(p)} \sin \delta_l(p) \rightarrow -p^{2l+1} a_l$. (pg. 27)
- 例子: 球方势阱。(pg. 29)

Section 4

正则 (REGULAR) 解, JOST 函数及玻恩展开
收敛性

Summary (go to pg. 48)

正则 (REGULAR) 解:

我们定义一个新的解 $\phi_{lp}(r) \propto \psi_{l,p}(r)$, 只有归一化不同。

- 归一化的 $\psi_{l,p}(r)$, $\int_0^\infty dr \psi_{l,p'}(r)^* \psi_{l,p}(r) = \frac{\pi}{2} \delta(p' - p)$ 。

边条件是 $\psi_{l,p}(0) = 0$; 在 $r \rightarrow \infty$ 时, $\psi_{l,p} \rightarrow \hat{j}_l + p f_l \hat{h}_l^+$ 。

- 我们定义 ϕ_l 的边条件, 定义在一点 $r \rightarrow 0$ 处, 包括值和导数

$$\phi_{l,p}(r) \xrightarrow{r \rightarrow 0} \hat{j}_l(pr)$$

- 显然, 正则解是实的: 边界条件和方程都是实的。

Go to (page (37))

VARIABLE PHASE METHOD *

为简单起见，我们只考虑 s 波。我们先引入 $V_\rho(r)$,

$$V_\rho = \begin{cases} V(r), & r \leq \rho \\ 0, & r > \rho \end{cases}$$

- 势 $V(r)$ 的 s 波的 regular 解记为 $\phi(r)$, 相移 δ ,
- $V_\rho(r)$ 的记为 $\phi_\rho(r)$, $\delta(\rho)$ 。
- 在 $\rho = 0$, 没有势了, 约定 $\delta(0) = 0$ 。
- 显然 $\lim_{\rho \rightarrow \infty} \delta(\rho) = \delta$ 。
- $\forall \rho$, $\phi(r)$ 和 $\phi_\rho(r)$ 在 $r = 0$ 有同样的边界条件, 满足同样的微分方程,

$$\phi(r) = \phi_\rho(r), \quad [0 \leq r \leq \rho]$$

对比: 归一化的 $\psi_{l,p}$ 则没有此性质。

- $r > \rho$, 两个解则有区别: $\phi_\rho(r)$ 满足自由 (此时 $l = 0$) 的径向方程

$$\phi_\rho(r) = \alpha(\rho) \sin[pr + \delta(\rho)], \quad [r \geq \rho]$$

- 由在 ρ 处的连续性:

$$\phi(\rho) = \alpha(\rho) \sin[p\rho + \delta(\rho)]$$

- 由导数 ϕ' 的连续性,

$$\phi'(\rho) = p\alpha(\rho) \cos[p\rho + \delta(\rho)]$$

- 上两式对任意 $r = \rho$ 处都成立, 可以给所有的 ρ 都换成 r , 带入定态径向方程, 消掉 α

$$\delta'(r) = -\frac{1}{p} U(r) \sin^2[pr + \delta(r)]$$

我们得到了 s -波相移方程。

- 由此方程, 利用 $\delta(r=0) = 0$ 边界条件: 若当 $r \rightarrow \infty$, $V(r) = O(r^{-1-\epsilon})$, 上式积分有限, $\delta(r \rightarrow \infty)$ 有限, 是所期望的相移。
- $\delta(r)$ 的方程是非线性的。

$$\delta'(r) = -\frac{1}{p} U(r) \sin^2[pr + \delta(r)]$$

- 由于右边的符号只取决于 $U(r)$ 的符号: 吸引势 $V(r) \leq 0$, 给出正的相移; 排斥势 $V(r) \geq 0$, 给出负的相移。
- 如果两个势 $V_1(r) \geq V_2(r)$, 对所有 r , 那么 $\delta_1(r) \leq \delta_2(r)$, $\Rightarrow \delta_1 \leq \delta_2$ 。
- $V \rightarrow \lambda V$,

$$\delta = -\frac{\lambda}{p} \int_0^\infty dr U(r) \sin^2[pr + \delta(r)]$$

假设 $V(r) \sim 1/r^{1-\epsilon}$,

$$|\delta| \leq \left| \frac{\lambda}{p} \right| \int_0^\infty dr |U(r)| \Rightarrow \delta \rightarrow 0, [\text{as } \lambda \rightarrow 0, \text{ or } p \rightarrow \infty]$$

- 此方法直接讨论 δ , 没有 $n\pi$ 的不确定性。当 $\lambda \rightarrow 0$ 或 $p \rightarrow \infty$, $\delta \rightarrow 0$ 。

此方法可以推广到任意 l -分波。

正则波函数的迭代解

正则波函数由于边界条件定义在 $r=0$, 径向方程可以化为如下积分方程

$$\phi_{l,p} = \hat{j}_l(pr) + \lambda \int_0^r dr' g_{l,p}(r, r') U(r') \phi_{l,p}(r') \quad (3)$$

$$g_{l,p}(r, r') = \frac{1}{p} [\hat{j}_l(pr) \hat{n}_l(pr') - \hat{n}_l(pr) \hat{j}_l(pr')]$$

注意: 积分上限是 r , 即 Green 函数在 $r' > r$ 时为 0。

定理:

积分方程 (8) 对任意 λ 都可以迭代求解, 如下级数解收敛

$$\phi(r) = \sum_0^{\infty} \lambda^n \phi^{(n)}(r), \quad \phi^{(0)} = \hat{j}_l(pr),$$

$$\begin{aligned} \phi^{(n)}(r) &= \int_0^r dr' g(r, r') U(r') \phi^{(n-1)}(r') \\ &= \int_0^r dr_n \int_0^{r_n} dr_{n-1} \cdots \int_0^{r_2} dr_1 g(r, r_n) U(r_n) g(r_n, r_{n-1}) \cdots U(r_1) \hat{j}_l(pr_1) \end{aligned}$$

证明跳过 (go to page 42)

证明：我们仅以 $l=0$ 分波为例，其他分波类似，需要用到 Riccati-Bessel 函数的性质。 $j_0(pr) = \sin(pr)$,
 $G_{0,p}(r, r') = p^{-1} \sin p(r - r')$ 。首先证明积分有限

$$\phi^{(n)}(r) = \frac{1}{p^n} \int_0^r dr_n \int_0^{r_n} dr_{n-1} \cdots \int_0^{r_2} dr_1 \sin p(r - r_n) U(r_n) \sin p(r_n - r_{n-1}) \cdots$$

由于积分上限有限，积分发散只有可能是由于被积函数的奇点， U 的奇点 0 点，在 0 点附近

$$|\sin pr_1| \leq pr_1, \quad |\sin p(r_2 - r_1)| \leq pr_2, \quad \dots \quad |\sin p(r - r_n)| \leq pr \quad (4)$$

$$|\phi^{(n)}(r)| \leq pr \int_0^r dr_n \int_0^{r_n} dr_{n-1} \cdots \int_0^{r_2} dr_1 |U(r_n)r_n \cdots U(r_1)r_1|$$

只要在 $r \rightarrow 0$ 时， $V \sim O(r^{-2+\epsilon})$ ， $\phi^{(n)}$ 积分有限。

下面证明级数 $\sum \lambda^n \phi^{(n)}$ 收敛。由于积分区域

$$0 \leq r_1 \leq r_2 \leq \cdots \leq r_n \leq r$$

$$\begin{aligned} |\phi^{(n)}(r)| &\leq pr \int_0^r dr_n \int_0^{r_n} dr_{n-1} \cdots \int_0^{r_2} dr_1 |U(r_n)r_n \cdots U(r_1)r_1| \\ &= \frac{1}{n!} pr \int_0^r dr_n \int_0^{r_n} dr_{n-1} \cdots \int_0^r dr_1 \prod_i |U(r_i)r_i| \\ &= \frac{1}{n!} pr \left(\int_0^r dr_i |U(r_i)r_i| \right)^n \\ &\leq \frac{1}{n!} pr \alpha^n, \quad \alpha = \int_0^\infty dr |U(r)r| \end{aligned}$$

$$|\phi(r)| \leq \left| \sum_0^\infty \lambda^n \phi^{(n)} \right| \leq pr \sum_0^\infty \frac{|\lambda \alpha|^n}{n!} = pre^{|\lambda \alpha|} \quad (5)$$

所以级数收敛, 而且是一致收敛 (在有限的区域内), $e^{\lambda \alpha}$ 与 p, r 无关。

下面来看此级数解 $\phi(r) = \sum \lambda^n \phi^{(n)}$ 确实是积分方程的解 ($l=0$)

$$\phi(r) = \sin pr + \frac{\lambda}{p} \int_0^r dr' \sin(p(r-r')) U(r') \phi(r')$$

$$\phi^{(n)}(r) = \frac{1}{p^n} \int_0^r dr_n \int_0^{r_n} dr_{n-1} \cdots \int_0^{r_2} dr_1 \sin p(r-r_n) U(r_n) \sin p(r_n-r_{n-1}) \cdots$$

可以很容易看出,

$$\lambda^{n+1} \phi^{(n+1)} = \frac{\lambda}{p} \int_0^r dr' \sin(p(r-r')) U(r') \lambda^n \phi^{(n)}(r')$$

积分方程右边第二项给出级数 λ^n , $n \geq 1$ 项, 第一项给出 λ^0 项。

前面的 bound (4,5) 对于 pr 很大时过于保守, 我们可以利用

$$|\sin x| \leq \frac{\beta x}{1+x}, \quad [x \geq 0, \beta > 0]$$

β 不重要的常数。

$$|\sin p(r - r_n)| \leq \frac{\beta pr}{1+pr}, \quad |\phi^{(n)}(r)| \leq \frac{\beta pr}{1+pr} \frac{\alpha^n}{n!}$$

$$|\phi(r)| \leq \frac{\beta pr}{1+pr} e^{\lambda \alpha}$$

JOST FUNCTION

由 $\phi_{l,p}(r)$ 的级数解，我们要得到散射振幅。首先要看 $\phi_{l,p}(r)$ 在 $r \rightarrow \infty$ 的性质。由于 $\phi_{l,p}$ 是实的，

$$\phi_{l,p} \xrightarrow{r \rightarrow \infty} \frac{i}{2} [f_l(p) \hat{h}_l^-(pr) - f_l^*(p) \hat{h}_l^+(pr)] \sim \frac{i}{2} [f_l(p) e^{-i(pr - l\pi/2)} - c.c.]$$

$f_l(p)$ 称为 **Jost 函数**。而由于 $\phi_{l,p}(r) \propto \psi_{l,p}(r)$ ，且

$$\psi_{l,p}(r) \xrightarrow{r \rightarrow \infty} \frac{i}{2} [\hat{h}_l^-(pr) - s_l(p) \hat{h}_l^+(pr)]$$

我们得到，

$$s_l(p) = \frac{f_l^*(p)}{f_l(p)}, \quad \phi_{l,p}(r) = f_l(p) \psi_{l,p}(r)$$

上式可以看到

- Jost 函数就是 $\phi_{l,p}(r)/\psi_{l,p}(r)$ 。
- 很容易看出 $|s_l| = 1$ ，么正性。
- $s_l = e^{2i\delta_l} \Rightarrow f_l(p) = |f_l(p)| e^{-i\delta_l(p)}$

下面由 $\phi_{l,p}(r)$ 得到 Jost 函数, 由积分方程 (8)

$$\phi_{l,p} = \hat{j}_l(pr) + \lambda \int_0^r dr' g_{l,p}(r, r') U(r') \phi_{l,p}(r')$$

$$g_{l,p}(r, r') = \frac{1}{p} [\hat{j}_l(pr) \hat{n}_l(pr') - \hat{n}_l(pr) \hat{j}_l(pr')],$$

由 $\hat{j} = \frac{i}{2}(\hat{h}^- - \hat{h}^+)$, $\hat{n} = \frac{1}{2}(\hat{h}^- + \hat{h}^+)$, 得到 $r \rightarrow \infty$,

$$\phi_{l,p} \rightarrow \frac{i}{2} \left\{ \left[1 + \frac{\lambda}{p} \int_0^\infty dr' \hat{h}_l^+(pr') U(r') \phi_{l,p}(r') \right] \hat{h}_l^-(pr) - \left[\dots \right]^* \hat{h}_l^+(pr) \right\}$$

所以,

$$f_l(p) = 1 + \frac{\lambda}{p} \int_0^\infty dr' \hat{h}_l^+(pr') U(r') \phi_{l,p}(r') \quad (6)$$

可以验证 $f_l(p)$ 积分是收敛的, 例如, 对于 $l=0$,

$$f_0(p) = 1 + \frac{\lambda}{p} \int_0^\infty dr' e^{+ipr'} U(r') \phi_{0,p}(r')$$

$$|f_0(p) - 1| \leq \beta e^{|\lambda\alpha|} \left| \frac{\lambda}{p} \right| \int_0^\infty dr' U(r') \frac{pr'}{1 + pr'} \quad (7)$$

由此我们能够得到当 $\lambda \rightarrow 0$ 或 $p \rightarrow \infty$ 时, $f_l(p) \rightarrow 1$ 。

由 $\phi_{l,p}(r)$ 的级数展开 $\phi = \sum_n \lambda^n \phi^{(n)}$ 代入到 (9), 我们可以得到 Jost 函数的展开

$$f_l(p) = 1 + \sum_{n=1}^{\infty} \lambda^n f_l^{(n)}(p), \quad f_l^{(n)} = \frac{1}{p} \int_0^{\infty} \hat{h}^+ U \phi^{(n-1)}$$

可以证明对任何 λ 此级数收敛。

一个定理

一个级数 $g(\lambda) = \sum_{n=0}^{\infty} \lambda^n g^{(n)}$ 如果对任何复 λ 都收敛, 当且仅当 $g(\lambda)$ 在任何 λ 处解析 (entire 整函数)。

- $\phi_{l,p}(r)$ 和 $f_l(p)$ 作为级数对任意 λ 都收敛, 不管 λ 是实的还是复的, 所以 $\phi_{l,p}(r)$ 和 $f_l(p)$ 都是关于 λ 的整函数 (entire)。
- 或者说, 因为 ϕ 和 f 选的比较好是关于 λ 的整函数, 所以他们的级数展开收敛。

我们可以来考虑对应的归一化的 $\psi_{l,p}(r)$, $\mathbf{s}_l(p)$ 关于 λ 的级数展开的性质。由

$$\psi_{l,p} = \frac{\phi_{l,p}(r)}{f_l(p)}, \quad \mathbf{s}_l(p) = \frac{f_l^*(p)}{f_l(p)}$$

- 在 $f_l(p)$ 不为零处 $\psi_{l,p}(r)$ 和 $\mathbf{s}_l(p)$ 都是关于 λ 解析的。
- $\lambda = 0$ 时, $f_l(p) = 1$, 所以至少在 $\lambda = 0$ 附近, $\psi_{l,p}(r)$ 和 $\mathbf{s}_l(p)$ 是关于 λ 解析的。
- 所以, 在 $\lambda = 0$ 附近 $\psi_{l,p}(r)$ 和 $\mathbf{s}_l(p)$ 可以展开成关于 λ 的级数, 且级数收敛。即对于足够小的 λ , 玻恩级数收敛。

当 $\lambda \neq 0$, Jost 函数可以有零点。 $\psi_{l,p}(r)$ 和 $s_l(p)$ 可以有极点。

- 若 $\lambda_0 = \bar{\lambda}e^{i\theta}$ 是离 $\lambda = 0$ 最近的 f 有零点的情形。则由 circle of convergence theorem,
 - 在 $|\lambda| < \bar{\lambda}$ 圆内, $\psi_{l,p}(r)$ 和 $s_l(p)$ 的玻恩级数是收敛的。
 - 在收敛圆外, $\psi_{l,p}(r)$ 和 $s_l(p)$ 的玻恩级数发散。
- 实际上玻恩级数在 $\lambda > \bar{\lambda}$ 时发散是因为在 $|\lambda| = \bar{\lambda}$ 收敛圆上, 存在复的 λ_0 , 玻恩级数发散。
- 真实的 V 对应 $\lambda = 1$, 玻恩级数是否收敛取决于是否 $\bar{\lambda} > 1$
- 对于足够高的 p , 分波 $\psi_{lp}, s_l(p)$ 的玻恩级数 ($\lambda = 1$) 收敛: 由 (7), 当 $p \rightarrow \infty$ 时, $f_l(p) \rightarrow 1$, 而且是在 $\lambda < \lambda_0$ 区域内 ($\forall \lambda_0 < \infty$) 一致收敛到 1。所以存在 \bar{p} , 在 λ 的单位圆内, $f_l(p) \neq 0$ 。

- 正则解: (pg. 33)

(1) 实的, 满足边界条件: 值和导数

$$\phi_{l,p}(r) \xrightarrow{r \rightarrow 0} \hat{j}_l(pr)$$

(2) Variable phase method. (pg. 34)

(3) 迭代解对所有 λ 收敛, 是关于 λ 的整函数. (pg. 37, 45)

- Jost 函数: (pg. 42)

- $\phi_{l,p} \xrightarrow{r \rightarrow \infty} \frac{i}{2} [f_l(p) \hat{h}_l^-(pr) - f_l^*(p) \hat{h}_l^+(pr)]$

- $s_l(p) = \frac{f_l^*(p)}{f_l(p)}$, $\phi_{l,p}(r) = f_l(p) \psi_{l,p}(r)$, $f_l(p) = |f_l(p)| e^{-i\delta_l(p)}$

- 由 ϕ_{lp} 得到 $f_l(p)$ 的积分表示, $\lambda \rightarrow 0$, $p \rightarrow \infty$ 时, $f_l(p) \rightarrow 1$. (pg.43)

- 对 λ 的级数展开收敛, 是 λ 的整函数. (pg.44 45)

- ψ_{lp} , $s_l(p)$: (pg.47)

(1) 在 $\lambda = 0$ 附近, 对于足够小的 λ , 玻恩级数收敛。

(2) 在 $\lambda = 1$, 对于足够高的 p , 玻恩级数收敛。

Section 5

正则解、JOST 函数、 s_l 的解析性质 (关于 p)

Summary (go to page (62))

ANALYTIC FUNCTION OF A COMPLEX VARIABLE

复函数 $f(z)$ 在区域 R 上解析, 如果在 R 上任一点都可微。

Cauchy 定理: $f(z) = \frac{1}{2\pi i} \oint ds \frac{f(s')}{s' - s}$

- 解析函数都无穷可微。
- 在整个 \mathbb{C} 上解析的函数称为整函数 (entire function)。
- 在解析区域内可以级数展开。
- 除了某些极点之外解析, $\oint dz f(z) = \sum \text{residuals of poles}$
- 两解析函数在某段线上相等: 如果 $f_1(z)$ 在一线段上定义, $f_2(z)$ 在一个包含此线段的区域 R 解析, 且在线段上 $f_1(s) = f_2(z)$, 则 $f_2(z)$ 是 $f_1(z)$ 在 R 上的唯一的解析延拓。
- $f(z)$ 在 R 区域解析, $f^*(z)$ 在 R^* 上并不解析, 但是 $[f(z^*)]^*$ 在 R^* 上解析。
- Schwartz 反射原理: 若 $f(z)$ 在一个包含实轴上一线段的区域内解析, 则 $f(z) = f(z^*)$ 。

Go to page (52)

两个定理:

级数求和:

$$f(z) = \sum_n f_n(z)$$

若 $f_n(z)$ 在区域 R 上解析, 且级数在 R 上一致收敛, 则 $f(z)$ 在 R 上解析。

积分:

$$f(z) = \int_a^b dr g(z, r)$$

若 $\forall r \in (a, b)$, $g(z, r)$ 在 R 解析, 且 $g(z, r)$ 在 $R \times (a, b)$ 上连续, 则 $f(z)$ 在 R 上解析。

第二个定理推广: $a = 0$, $g(z, r=0)$ 函数发散, 或者 $b = \infty$, 或者 $r = r_0 \in (a, b)$ 处 $g(z, r_0)$ 发散这两种情形, 若可以证明在端点和 r_0 处积分一致收敛, 则上面结论仍成立。

正则解的解析性质

正则解 $\phi_{l,p}$ 满足积分方程

$$\begin{aligned}\phi_{l,p} &= \hat{j}_l(pr) + \lambda \int_0^r dr' g_{l,p}(r, r') U(r') \phi_{l,p}(r') \\ g_{l,p}(r, r') &= \frac{1}{p} [\hat{j}_l(pr) \hat{n}_l(pr') - \hat{n}_l(pr) \hat{j}_l(pr')]\end{aligned}\quad (8)$$

$z \rightarrow 0$ 时, $\hat{j}(z) \rightarrow z^{l+1}$, $\hat{n}(z) \rightarrow z^{-l}$: 格林函数关于 p 解析。

定理:

对于任意的 p (实的或复的), 上面积分方程 (8) 的迭代解 $\phi_{l,p}(r)$ (page 37) 是关于 p 的整函数。

两种看法:

- $\phi_{l,p}$ 是对任何复 p 方程的解, 关于 p 解析, 回到物理区 $p \geq 0$, ϕ_{lp} 回到物理解。
- $\phi_{l,p}$ 从物理区 $p \geq 0$ 解析延拓到复平面上, 给出复 p 的解。

证明跳过 (Go to page(54))

证明与前面讨论关于 λ 解析性类似:

- 对应 $l=0$ 分波:

$$\phi^{(n)}(r) = \frac{1}{p^n} \int_0^r dr_n \int_0^{r_n} dr_{n-1} \cdots \int_0^{r_2} dr_1 \sin p(r-r_n) U(r_n) \sin p(r_n-r_{n-1}) \cdots \sin p(r_2-r_1)$$

利用 $|\sin(pr)| \leq \beta \frac{pr}{1+pr}$,

$$|\phi^{(n)}| \leq \beta \left(\frac{|pr|}{1+|pr|} \right) e^{|\operatorname{Im}pr|} \frac{\alpha^n}{n!}, \quad \alpha = \int_0^r dr |U(pr)r|$$

在 p 有限区域内, 级数一致收敛 (给定 r , 收敛与 p 无关)。

$\phi^{(0)} = \hat{j}_l(pr)$ 解析, 利用递推关系和前页定理,

$\phi^{(n)} = \frac{1}{p} \int_0^r dr' \sin(p(r-r')) \phi^{(n-1)}$, $\phi^{(n)}$ 关于 p 解析。

- 对于一般的 l

$$|\phi_{l,p}| \leq \gamma_l \left(\frac{|pr|}{1+|pr|} \right)^{l+1} e^{|\operatorname{Im}pr|}$$

γ_l 是常数。对于 $z \rightarrow 0$, $|pr|^{l+1}$ 对应 $\hat{j}(z) \sim z^{l+1}$ 的行为。当 $\operatorname{Im}z \rightarrow \infty$, $e^{|\operatorname{Im}pr|}$ 对应 $\hat{j}(z) \rightarrow \sin(z - \frac{1}{2}l\pi)$ 的行为。

几个性质：由

$$\hat{j}_l(-pr) = (-1)^{l+1} \hat{j}_l(pr), \quad \hat{n}_l(-pr) = (-1)^l \hat{n}_l(pr)$$

得到

$$g_{l,-p}(r, r') = g_{l,p}(r, r')$$

所以，由积分方程 (8)

$$\phi_{l,-p}(r) = (-1)^{l+1} \phi_{l,p}(r)$$

由

$$f_l(p) = 1 + \frac{\lambda}{p} \int_0^\infty dr' \hat{h}_l^+(pr') U(r') \phi_{l,p}(r') \quad (9)$$

该式定义了 f 到复平面的解析延拓。 p 复数时，

$$|\phi_{l,p}(r)| \leq \left(\frac{\beta|pr|}{1+|pr|} \right)^{l+1} e^{|\text{Im}p|r}$$

$$|\hat{h}_l^+| \leq \left(\frac{\beta|pr|}{1+|pr|} \right)^{-l} e^{\text{Im}pr}$$

所以

$$|f_l(p) - 1| \leq \frac{\text{const}}{|p|} \int_0^\infty dr |U(r)| \frac{\beta|pr|}{1+|pr|} e^{(|\text{Im}p| - \text{Im}p)r}$$

- 若 $\text{Im}p > 0$ ，积分收敛，所以在上半平面解析。
- 下半平面则依赖于势的行为。
- 截断势，对于 $r > a$ ， $U(r) = 0$ ，则 f 在整个复平面上解析
- 对于 $V \propto e^{-\mu r}$ ， f 在 $\text{Im}p > -\mu/2$ 解析。

对于 p 为实数，由

$$\begin{aligned}\phi_{l,-p} &= (-1)^{l+1} \phi_{l,p}(r), \\ \hat{h}_l^+(-pr) &= (-1)^l h_l^{+*}(pr)\end{aligned}$$

得

$$f_l(-p) = [f_l(p)]^*$$

解析延拓的话：

$$f_l(-p) = [f_l(p^*)]^*$$

若 p 纯虚数的话， $f_l(-p) = [f_l(-p)]^*$ ，实的， $f_l(p)$ 关于虚轴对称点互为复共轭。

对于 p 由实数解析延拓到复平面

$$s_l(p) = \frac{f_l(p)^*}{f_l(p)} = \frac{f_l(p^*)^*}{f_l(p)} = \frac{f_l(-p)}{f_l(p)}$$

后两式, 分母对于 $\text{Im} p \geq 0$ 解析, 分子对于 $\text{Im} p \leq 0$ 解析。

- 对于截断势, $r > a$, $V(r) = 0$, 则 s_l 亚纯 (除了极点之外解析)。
- 若 $V \sim O(e^{-\mu r})$, $s_l(p)$ 在 $-\mu/2 < \text{Im} p < \mu/2$ 内亚纯。

若在 $\text{Re}r > 0$ 时 $V(r)$ 解析, 且在此半平面上任意射线 $\rho e^{i\theta}$ 也满足我们对势的要求时, 我们称之为**解析势**。由此, 对 r 的积分路径可以变形到复平面上

$$f_l(p) = 1 + \frac{1}{p} \int_0^{\infty e^{i\theta}} dr \hat{h}^+ U \phi$$

仍然利用 $|\phi_{l,p}(r)| \leq \left(\frac{\beta|pr|}{1+|pr|}\right)^{l+1} e^{|\text{Im}pr|}$, $|\hat{h}_l^+| \leq \left(\frac{\beta|pr|}{1+|pr|}\right)^{-l} e^{\text{Im}(pr)}$

$$|f_l(p) - 1| \leq \frac{\text{const}}{|p|} \int_0^{\infty} dr |U(re^{i\theta})| \frac{\beta|pr|}{1+|pr|} e^{(|\text{Im}(pe^{i\theta})| - \text{Im}(pe^{i\theta}))r}$$

相当于对 p 解析区域转过 $-\theta$ 角, 当 θ 取遍 $-\pi/2 < \theta < \pi/2$ 区域, p 的解析区域向下延拓到除负虚轴以外区域:

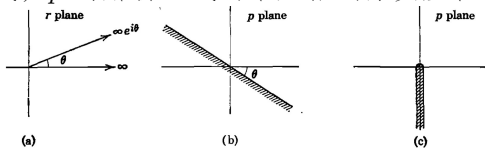
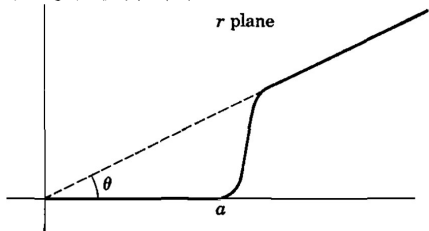
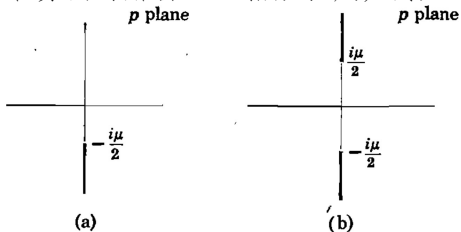


FIGURE 12.5. (a) The original integral for $f_l(p)$ runs from 0 to ∞ ; that of (12.12) runs from 0 to $\infty e^{i\theta}$. (b) (12.12) is analytic in $\{\text{Im}(pe^{i\theta}) > 0\}$, the half plane above the sloping line shown. (c) The union of all such regions with $-\pi/2 < \theta < \pi/2$ is the whole plane cut along the negative imaginary axis.

其实不一定要要求 $\text{Re}r > 0$ 内完全解析，例如 $r > a$ 解析，我们可以选取积分路径：



若势同时解析且 e 指数衰减, 例如 $e^{-\mu r}$, 结合前面两种情形



- 若 $V \sim \gamma e^{-\mu r}/r$, $f_l(p)$ 在 $p = -i\mu/2, -i\mu, \dots$ 有割线
- 若 $V \sim \gamma e^{-\mu r}$, $f_l(p)$ 在 $p = -i\mu/2, -i\mu, \dots$ 有极点。
- s_l 在 (b) 图区域内亚纯。

两点说明：

- 对于满足我们的要求的势， f_l 在上半平面解析。要解析延拓到下半平面，需要一些额外的要求。
- $f_l(p)$ 在下半平面的解析性物理上并不是很重要，在负虚轴上面的性质对于势的长程性质很敏感。
例如： $e^{-\mu r}/r$ 势，负虚轴上会有割线，但是如果在 $r > a$ 截断，则在整个复平面上解析。而当 a 很大时，这两个势物理上是不能区分的。

- 正则解: 对于任意的 p (实的或复的), 正则解的积分方程 (8) 的迭代解 $\phi_{l,p}(r)$ (page 37) 是关于 p 的整函数。满足 $\phi_{l,-p}(r) = (-1)^{l+1} \phi_{l,p}(r)$. (pg. 52, 54)
- Jost 函数: $f_l(-p) = [f_l(p^*)]^*$ 。在上半平面 ($\text{Imp} > 0$) 解析。下半平面则依赖于势的行为。(pg.55)
 - 截断势, 对于 $r > a$, $U(r) = 0$, 则 f 在整个复平面上解析
 - 若 $V \sim O(e^{-\mu r})$, $f_l(p)$ 在 $\text{Imp} > -\mu/2$ 内解析。
 - 解析势, f 在除 $\text{Imp} < 0$ 解析。(pg.58)
 - 对于 $V \propto \gamma e^{-\mu r}$, f 在除 $\text{Imp} < -\mu/2$ 解析。(pg. 60)
- $s_l(p): s_l(p) = \frac{f_l(p)^*}{f_l(p)} = \frac{f_l(p^*)^*}{f_l(p)} = \frac{f_l(-p)}{f_l(p)}$, (pg.57)
 - 对于截断势, $r > a$, $V(r) = 0$, 则 s_l 亚纯 (除了极点之外解析)。
 - 若 $V \sim O(e^{-\mu r})$, $s_l(p)$ 在 $-\mu/2 < \text{Imp} < \mu/2$ 内亚纯。
 - 若 $V \propto \gamma e^{-\mu r}$, $s_l(p)$ 在除 $\text{Imp} < -\mu/2, \text{Imp} > \mu/2$ 外区域亚纯。(pg. 60)

Section 6

束缚态与 LEVINSON 定理

Summary (go to page (80))

束缚态

由在 $p, r \in \mathbb{R}$, 上渐近行为:

$$\phi_{l,p} \rightarrow \frac{i}{2} [f_l(p) \hat{h}_l^-(pr) - f_l(-p) \hat{h}_l^+(pr)]$$

p 解析延拓到上半平面时, 我们假设上式仍然成立,

- 假设, 某种势使得在 \bar{p} 处, ($\text{Im}\bar{p} > 0$), $f_l(\bar{p}) = 0$,

$$\phi_{l,p} \rightarrow -\frac{i}{2} f_l(-\bar{p}) \hat{h}_l^+(\bar{p}r) \rightarrow -\frac{i}{2} f_l(-\bar{p}) e^{i(pr - l\pi/2)}$$

当 $\text{Im}p > 0$, $r \rightarrow \infty$, \hat{h}_l^+ 指数下降。

- 此时, $\phi_{l,\bar{p}}$ 是可归一化的波函数, 满足 $\phi_{l,\bar{p}}(r=0) = 0$, 对应 Schrödinger 方程的束缚态的解。
- 由于 H 是厄米算符, 只有实的本征值 $E = p^2/2m$, 所以 \bar{p} 只能是纯虚数 $\bar{p} = i\alpha$, $E = -\alpha^2/2m$ 。
- 反过来, H 有束缚态, $E = -\alpha^2/2m$, 角动量 l , 则在 $p = i\alpha$, 解 $\phi_{l,p}$ 必然指数衰减, $f(i\alpha)$ 为零。
- 若 $f(-p)$ 在 $-p = -\bar{p}$ 处也解析 (且不为零), 由 $s_l(p) = f(-p)/f(p)$, \bar{p} 为 $s_l(p)$ 的极点。

现在，我们对束缚态作为 $s_l(p)$ 的极点的理解：

$s_l(p)$ 是在波函数 ϕ 中的 outgoing 和 incoming 波的系数即 Jost 函数的比。当 $\text{Im}p > 0$, outgoing 波在 $r \rightarrow \infty$ 指数下降，而 incoming 的上升。由于束缚态的 ϕ 只是下降的，outgoing 不为零 incoming 为零，所以 $s_l(p)$ 无穷大。

(go to (68))

更严格一点：定义径向方程的解 $\chi_{l,p}^{\pm}(r)$ ，对应纯的 outgoing 和 incoming 解

$$\chi_{l,p}^{\pm}(r) \xrightarrow{r \rightarrow \infty} \hat{h}_l^{\pm}(pr)$$

一般来说 $\chi_{l,p}^{\pm}(r)$ 在 $r=0$ 处不为零，并不 $\propto \phi_{l,p}$ 。满足积分方程

$$\chi_{l,p}^{\pm} = \hat{h}_l^{\pm}(pr) - \int_r^{\infty} dr' g_{l,p}(r, r') U(r') \chi_{l,p}^{\pm}(r')$$

- 注意：积分是从 $r \rightarrow \infty$ 。可以迭代求解。
- 可以证明 $\chi_{l,p}^{+}(r)$ 在 $\text{Imp} \geq 0$ 时存在，是径向方程的解，且关于 r 连续，且在 $\text{Imp} > 0$ 关于 p 解析。
- 对于 $\chi_{l,p}^{-}(r)$ 则在 $\text{Imp} \leq 0$ 时存在且关于 r 连续，且在 $\text{Imp} < 0$ 关于 p 解析。
- 对于 $p \in \mathbb{R}$,

$$\phi_{l,p}(r) = \frac{i}{2} (f_l(p) \chi_{l,p}^{-}(r) - f_l(-p) \chi_{l,p}^{+}(r))$$

Wronskian 朗斯基行列式

两个函数 $\alpha(r), \beta(r)$,

$$W(\alpha, \beta) = \alpha(r)\beta'(r) - \alpha'(r)\beta(r) = \det \begin{pmatrix} \alpha & \beta \\ \alpha' & \beta' \end{pmatrix}$$

- 若两个函数线性相关, 则 $W(\alpha, \beta) = 0$.
- 如果两个函数 $\alpha(r), \beta(r)$ 满足径向方程, 则

$$\frac{dW(\alpha, \beta)}{dr} = \alpha(r)\beta''(r) - \alpha''(r)\beta(r) = 0.$$

- $W(j_l(pr), \hat{n}(pr)) = -p$, $W(\chi_{l,p}^+, \chi_{l,p}^-) = -2ip$.
- $W(\chi^+, \phi) = pf_l(p)$, 即

$$f_l(p) = \frac{1}{p} W(\chi^+, \phi)$$

- 当 $f_l(\bar{p}) = 0$, $\text{Im}\bar{p} > 0$, 则 $W(\chi^+, \phi) = 0$, $\phi_{l,\bar{p}} = \lambda\chi_{l,\bar{p}}^+(r)$, $\chi_{l,p}^+(r)$ 随 r 指数衰减, 平方可积, 所以是束缚态解, $E = -\alpha^2/2m$.

- 束缚态对应 $f_l(r)$ 的一阶极点。

$$\frac{df_l}{dp}(\bar{p}) = \int_0^\infty dr \chi_{l,\bar{p}}^+(r) \phi_{l,\bar{p}}(r) = \lambda \int_0^\infty dr (\chi_{l,\bar{p}}^+)^2 > 0$$

- f_l 的零点处，分波振幅 f_l 的留数 $\Gamma = (-1)^{l+1} \gamma^2$ ， γ 是由归一化的束缚态波函数在无穷远处渐近形式定义 $\eta(r) \xrightarrow{r \rightarrow \infty} \gamma e^{-\alpha r}$ ，其中 $E = -\alpha^2/2m$ 。

两个定理:

1. Jost 函数不能在实轴上有零点, 除非在 $p = 0$ 处。
2. $p \rightarrow \infty$, in $\text{Im} p > 0$ plane, $f_l \rightarrow 1$.

证明简要说明:

1. $p \in \mathbb{R}$, 若 $f_l(p) = 0$, 则 $f_l^*(p) = 0$, $\phi_{lp}(r)$ 恒为零, 而由 $\phi \xrightarrow{r \rightarrow 0} j_l(pr) \rightarrow \frac{(pr)^{l+1}}{(2l+1)!!}$, 除非 $p = 0$, ϕ 不能恒为 0.
2. 前一章的结果可以推广到复平面。
3. 一个推论: 对于确定的 l , $f_l(p)$ 在 $\text{Im} p > 0$ 平面只有有限的零点, 即有有限个束缚态。(对于 $p = 0$ 点需特殊考虑)
($\exists p_0 > 0$, s.t. $|p| > p_0$, $f_l(p)$ 无零点。再由解析函数性质, 有限区域的解析函数不可能有有限多的零点。)

LEVINSON 定理

对于球对称势 (满足我们要求的), 相移除了下面的例外情形外满足

$$\delta_l(0) - \delta_l(\infty) = n_l \pi$$

n_l 是束缚态的个数。

一个例外情况是, $l=0$ 且 $f_0(0) = 0$ 时,

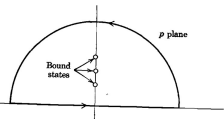
$$\delta_l(0) - \delta_l(\infty) = (n_0 + \frac{1}{2})\pi$$

证明简要说明 ($p \neq 0$): 主要是考虑上半平面圈积分,

$$I = \oint d \ln f_l(p) = \oint dp \frac{\dot{f}_l(p)}{f_l(p)} = 2\pi i n_l,$$

又由在 $p \in \mathbb{R}$, ($p > 0$), $\ln f_l(p) = \ln |f_l(p)| - i\delta_l(p)$,
 $f_l(-p) = f_l^*(p)$, $\ln f_l(-p) = \ln |f_l(p)| + i\delta_l(p)$

$$I = \oint d \ln f_l(p) = -2i \int_0^\infty d\delta(p) = 2i[\delta(0) - \delta(\infty)]$$



阈 ($p = 0$) 附近的行为

分波振幅:

$$\begin{aligned} f_l(p) &= \frac{s_l(p) - 1}{2ip} = \frac{f_l(-p) - f_l(p)}{2ipf_l(p)} = \frac{-1}{p^2 f_l(p)} \int_0^\infty dr \hat{j}_l(pr) U(r) \phi_{l,p}(r) \\ &= -\frac{1}{p^2} \int_0^\infty dr \hat{j}_l(pr) U(r) \psi_{l,p}(r), \quad \psi_{l,p}(r) = \phi_{l,p}(r) / f_l(p) \end{aligned}$$

利用 $|\hat{j}_l(pr)|, |\phi_{l,p}(r)| \leq \text{const} \left(\frac{pr}{1+pr} \right)^{l+1}$, 若 $f_l(0) \neq 0$, 在 $p = 0$ 邻域

$$|f_l(p)| \leq \frac{\text{const}}{f_l(0)} \frac{1}{p^2} \int_0^\infty dr |U(r)| \left(\frac{pr}{1+pr} \right)^{2l+2}$$

对于 e 指数压低的势, 分母 $(1+pr)^{2l+2} \rightarrow 1$ 可以忽略, $f_l(p)$ 在零点处解析, $f_l(p) = O(p^{2l}), p \rightarrow 0$,

$$f_l(p) = -a_l p^{2l} + b_l p^{2l+1} + \dots$$

a_l 有限的 (也有可能是 0) 常数, 散射长度 scattering length.

$V(r) = O(\frac{1}{r^\nu}), (r \rightarrow \infty)$, tail 型

- 当 $l < (\nu - 3)/2$ 时, 积分中分母 $1 + pr \rightarrow 1$ 上面积分收敛,

$$f_l(p) = O(p^{2l}), \quad [p \rightarrow 0, l < (\nu - 3)/2]$$

- 若 $l > (\nu - 3)/2$, 分母 $(1 + pr)$ 需保留, 积分后

$$f_l(p) = O(p^{\nu-3}), \quad [p \rightarrow 0, l > (\nu - 3)/2]$$

在 $p = 0$ 处解析行为未知, 不一定能级数展开。

阈 ($p = 0$) 附近的行为

下面考虑在 $p = 0$ 处解析可以进行展开的情形, 主要是 e 指数压低的势。引入分波振幅的 K 矩阵表示:

$$s_l(p) = \frac{1 + ik_l(p)}{1 - ik_l(p)}$$

其中 $p > 0$, $k_l(p)$ 实的。 $s_l(p)$ 自动么正。

- 可以反解出

$$k_l(p) = i \frac{1 - s_l(p)}{1 + s_l(p)} = \tan \delta_l(p)$$

除 $s_l(p) = -1$ 的点以外, $k_l(p)$ 在 $s_l(p)$ 解析的点处解析, 特别的在 $p = 0$ 处解析。

- 解析延拓至 $-p$, $p > 0$, 由 $s_l(p) = f_l(-p)/f_l(p)$,
 $s_l(-p) = 1/s_l(p)$, $k_l(-p) = -k_l(p)$, 奇函数。
- $p \rightarrow 0$, 由 $\delta_l(p) \rightarrow -a_l p^{2l+1}$, $k_l = \tan \delta_l$, $k_l(p) \xrightarrow{p \rightarrow 0} -a_l p^{2l+1}$.
- k_l/p^{2l+1} 关于 p 偶函数:

$$\frac{p^{2l+1}}{k_l(p)} = p^{2l+1} \cot \delta_l(p) = -\frac{1}{a_l} + \frac{r_l}{2} p^2 + O(p^4)$$

Effective range expansion:

$$\frac{p^{2l+1}}{k_l(p)} = p^{2l+1} \cot \delta_l(p) = -\frac{1}{a_l} + \frac{r_l}{2} p^2 + O(p^4)$$

对于 $l=0$, r_0 近似的可以看成势的有效的力程。只取前两项则称之为有效力程近似 **Effective range approximation**。 $n-p$ 散射中到 10MeV 以下, **Effective range approximation** 近似的比较好。

Remarks:

对于 $1/r^\nu$ tail 型势, $s_l, f_l(p), k_l(p)$ 一般在 $p=0$ 含有支点, 将不能关于 p^2 进行的 **effective range expansion**, 例如 $1/r^4$ tail,

$$p \cot \delta_0(p) = \frac{-1}{a_0} + bp + cp^2 \ln p + O(p^2)$$

$f_l(p)$ 在阈处的零点

$p = 0$ 时, 径向方程:

$$\left[\frac{d^2}{dr^2} - \frac{l(l+1)}{r^2} - U(r) \right] y(r) = 0,$$

$r \rightarrow 0$ 和 $r \rightarrow \infty$, $\frac{l(l+1)}{r^2}$ 主导

- $r \rightarrow 0$, $y(r) \sim r^{l+1}$
- $r \rightarrow \infty$, $y(r) \sim 1/r^l$.
- 对于 $l = 0$, $r \rightarrow \infty$, $y \sim 1/r^0$, 不可归一, 不是束缚态。
- 对于 $l > 0$, 则可以是束缚态。

只有可能对特殊的势满足。

是否一个 $p = 0$ 处的束缚态解对应约一个 $f_l(p)$ 的零点?

- 选择解的形式: (自由时候两个独立解 r^{l+1} , 和 r^{-l}) $r \rightarrow 0$,

$$\tilde{j}_l(r) \equiv \frac{\hat{j}_l(pr)}{p^{l+1}} \rightarrow \frac{r^{l+1}}{(2l+1)!!}, \quad \tilde{n}_l(r) \equiv p^l \hat{n}_l(pr) \sim \frac{1}{r^l},$$

- 有相互作用时,

$$(r \rightarrow 0), \quad \tilde{\phi}_{l,p}(r) \equiv \frac{\phi_{l,p}(r)}{p^{l+1}} \sim r^{l+1},$$

$$(r \rightarrow \infty), \quad \tilde{\chi}_{l,p}^+(r) \equiv p^l \chi_{l,p}^+ \sim 1/r^l, \quad \tilde{\chi}_{l,p}^-(r) \equiv \chi_{l,p}^-/p^{l+1} \sim r^{l+1}$$

$$f_l(p) = \frac{1}{p} W(\chi_{l,p}^+, \phi_{l,p}) = W(\tilde{\chi}_{l,p}^+, \tilde{\phi}_{l,p})$$

- 只有特殊的势下, 当 $\tilde{\chi}_{l,p=0}^+ \sim \tilde{\phi}_{l,0}$ 时, $f_l(0) = 0$, 当 $l > 0$ 时, $\tilde{\phi}_{l,p}$ 确实是束缚态。 $l = 0$, 不可归一化。

下面看 $f_l(p)$ 在 0 点附近的如何趋于 0 的。考虑 e 指数衰减势， $p=0$ 处解析，可以在积分内级数展开

$$\begin{aligned} f_l(p) &= 1 + \frac{\lambda}{p} \int_0^\infty dr' \hat{h}_l^+(pr') U(r') \phi_{l,p}(r') \\ &= 1 + \frac{1}{p} \int_0^\infty dr' \hat{n}_l^+(pr') U(r') \phi_{l,p}(r') + i \frac{1}{p} \int_0^\infty dr' \hat{j}_l^+(pr') U(r') \phi_{l,p}(r') \\ &\xrightarrow{p \rightarrow 0} 1 + [\alpha_l + \beta_l p^2 + O(p^4)] + i[\gamma_l p^{2l+1} + O(p^{2l+3})] \end{aligned}$$

注意到 $\hat{j}_l(r)$, $\hat{n}_l(r)$, $\phi_{l,p}(r)$ 是实的，所以 $\alpha_l, \beta_l, \gamma_l$ 都是实的。其中用到

$$\begin{aligned} \hat{j}_l(pr) &\sim (pr)^{l+1} (\sum_{n=0} \alpha_n p^{2n}), \hat{n}_l(pr) \sim 1/(pr)^l (\sum_{n=0} \alpha_n p^{2n}), \\ \phi_{l,p}(r) &\sim (pr)^{l+1}, p \rightarrow 0. \text{ 利用 } f_l(p=0) = 0, \alpha_l = -1: \end{aligned}$$

$$f_l(p) = [\beta_l p^2 + O(p^4)] + i[\gamma_l p^{2l+1} + O(p^{2l+3})]$$

所以

$$l=0 \quad f_0(p) = i\gamma_0 p + O(p^2),$$

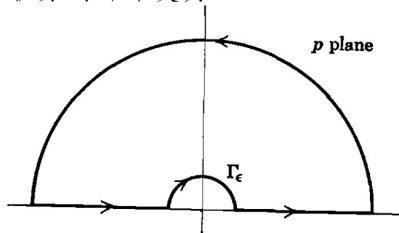
$$l>0 \quad f_l(p) = \beta_l p^2 + O(p^3 \text{ or } p^4)$$

$l=0$ 是单根，而 $l>0$ 是二重根。

继续 Levinson 定理:

$$I = \oint d \ln f_l(p) = \oint dp \frac{\dot{f}_l(p)}{f_l(p)} = 2\pi i n_l (\text{Im} p > 0),$$

积分的环路变为:



$$\begin{aligned} I &= -2i \int_0^\infty d\delta(p) = 2i[\delta(0) - \delta(\infty)] + \lim_{\epsilon \rightarrow 0} \int_{\Gamma_\epsilon} dp \frac{\dot{f}_l(p)}{f_l(p)} \\ &= 2i[\delta(0) - \delta(\infty)] + \begin{cases} -\pi i & [l = 0] \\ -2\pi i & [l > 0] \end{cases} \end{aligned}$$

$l = 0, p = 0$ 不是束缚态, $l > 0, p = 0$ 是束缚态:

$$\delta(0) - \delta(\infty) = \begin{cases} (n_0 + \frac{1}{2})\pi & [l = 0] \\ n_l \pi & [l > 0] \end{cases}$$

分波振幅 f_l 在 $f_l(p=0) = 0$ 时的阈处的行为。

$$f_l(p) = \frac{s_l(p) - 1}{2ip} = \frac{f_l(-p) - f_l(p)}{2ipf_l(p)} = \frac{-1}{p^2 f_l(p)} \int_0^\infty dr \hat{j}_l(pr) U(r) \phi_{l,p}(r)$$

- 当 $f_l(0) \neq 0$ 时，我们前面得到 $f_l(p) = -a_l p^{2l} + O(p^{2l+1})$.
- $l=0$, 当 $f_0(0) = 0$ 时, $f_0(p) \sim i\gamma p$, $j_0(pr) \sim p$, $\phi_{l,p} \sim p$, 所以

$$f_0(p) = i \frac{a_0}{p} + O(1), \quad a_0 \in \mathbb{R}$$

也可由 Levinson 定理: 此时, $\delta_0(0) = \pi/2 \pmod{\pi}$,
 $f_0(p) = \frac{1}{p} \exp(i\delta_0) \sin \delta_0 \rightarrow i\infty$, 截面 $\sigma_0 = 4\pi |f_0|^2 \rightarrow \infty$.

- $l > 0$, $f_l(p) \sim p^2$

$$f_l(p) = a_l p^{2l-2} + O(p^{2l-1})$$

与前面相比幂次减少两次。

- 束缚态: $f_l(p)$ 的一阶零点, $s_l(p)$ 的一阶极点。(page 64)
- Jost 函数两个性质 (page 69)
 1. Jost 函数不能在实轴上有零点, 除非在 $p = 0$ 处。
 2. $p \rightarrow \infty$, in $\text{Imp} > 0$ plane, $f_l \rightarrow 1$.
- Levinson 定理: (page 70) 球对称情形,

$$\delta_l(0) - \delta_l(\infty) = n_l \pi$$

n_l 是束缚态的个数。

一个例外情况是, $l = 0$ 且 $f_0(0) = 0$ 时,

$$\delta_l(0) - \delta_l(\infty) = \left(n_0 + \frac{1}{2}\right) \pi$$

- s_l 的 K 矩阵参数化 (pg.73): $s_l(p) = \frac{1+ik_l(p)}{1-ik_l(p)}$, $k_l(p)$ 实的, $k_l(p) = \tan \delta_l(p)$ 。
- $p \in \mathbb{R}$, $s_l(-p) = 1/s_l(p)$ 。

对 $r \rightarrow \infty$, e 指数压低的势

- 阈附近行为: $f_l(0) \neq 0$ 时 (pg.71),

$$f_l(p) = -a_l p^{2l} + b_l p^{2l+1} + \dots$$

有效力程 effective range 展开 (pg. 74)

$$\frac{p^{2l+1}}{k_l(p)} = p^{2l+1} \cot \delta_l(p) = -\frac{1}{a_l} + \frac{r_l}{2} p^2 + O(p^4)$$

- 若 $f_l(p=0) = 0$ 处解性质: (pg. 75)

$l > 0$ 时, 可以归一, 是束缚态;

$l = 0$ 时, 解不可归一, 不是束缚态。

- $f_l(p=0) = 0$, 在 $p=0$ 展开: (pg.77)

$$l = 0 \quad f_0(p) = i\gamma_l p + O(p^2),$$

$$l > 0 \quad f_l(p) = \beta p^2 + O(p^3 \text{ or } p^4)$$

- 此时分波振幅 f_l 在 $p=0$ 展开: (pg.79)

$$l = 0, \quad f_0(p) = i \frac{a_0}{p} + O(1), \quad a_0 \in \mathbb{R}$$

$$l > 0, \quad f_l(p) = a_l p^{2l-2} + O(p^{2l-1})$$

$l = 0$ 时看成散射长度发散。